

Fig. 3. Relations between $\log f_N^{(M)}$ and concentration of carbon, silicon and manganese.

したがつて

$$\log f_{N(C)} = 0.135\% \underline{C} \quad C < 4\% \quad 1500 \sim 1700^{\circ}\text{C}$$

$$\log f_{N(Si)} = 0.048\% \underline{Si} \quad Si < 4\% \quad 1550 \sim 1700^{\circ}\text{C}$$

$$\log f_{N(Mn)} = -0.020\% \underline{Mn} \quad Mn < 4\% \quad 1550 \sim 1700^{\circ}\text{C}$$

これらを従来の研究と比較すると

Fe-C 系熔鉄に対しては

$$\text{Chipman} \text{ は } \log f_{N(C)} = 0.13 \% \underline{C}$$

$$\text{的場, 笠松} \text{ は } \log f_{N(C)} = 0.147 \% \underline{C}$$

をまた Langenberg らも同程度の値を示していて、筆者らの値とほぼ一致する。

Fe-Si 熔鉄に関して Chipman らの実測では Si 約 2 %までは N の熔解度は増加し以後逐次減少するとしている。

これらの相異については別途検討中であるので省略するが、いずれにしても本実験方法では上述の結果を示した。

Fe-Mn 熔鉄については Langenberg らは

$$\log f_{N(Mn)} = -0.025 \% \underline{Mn} \quad 1600^{\circ}\text{C}$$

を示していて筆者らの値と大体一致する。

(43) 鋼塊の偏析について

(ラヂオアイソトープ ^{32}P による鋼塊の磷の偏析に関する研究—I)

Segregation of Steel Ingots.

(Study on the segregation of P in steel ingots—I)

Yoshio Harada, et alii.

宇部興産宇部鉄工所 ○工 原田 良夫

〃 工 小路 豪

〃 中央研究所 工 浜田 伯夫

I. 緒 言

鋼の研究にラジオアイソトープをトレーサーとして利用することが有効な方法であることは早くから知られていた。筆者たちは ^{32}P を用い鋼中の P の挙動を研究した。

ここでは ^{32}P の鋼中の添加法、精錬中の P の挙動、および鋼塊の P の偏析を GM 計数管とオートラジオグラフィで調べた。

II. 実験方法

(1) ^{32}P の鋼への添加法

^{32}P は半減期 14.3 日で、1.70 MeV のエネルギーを持つ β 線を出す。これはトレーサー実験には適当な半減期であり、エネルギーである。

実験を 1 t 塩基性電気炉および 2 t 酸性電気炉で行うため ^{32}P の 1 回の使用量を 10mc とした。

まず入手した ^{32}P は $\text{H}_3^{32}\text{P O}_4$ の塩酸酸性溶液であるのでこれを磷酸鐵とした。磷酸鐵を乾燥後還元剤として珪素鉄粉を十分量加え、鉄製容器に密封して電気炉炉底中央部におき鉄屑とともに溶解した。

(2) 試料の作製と β 線の測定法

電気炉で溶解した鋼をスプンで取り出しアルミで脱酸後径 32 mm、高さ 40 mm の金型に鋳込み、水冷後一面をグラインダー仕上した。これを Fig. 1 に示す GM 計

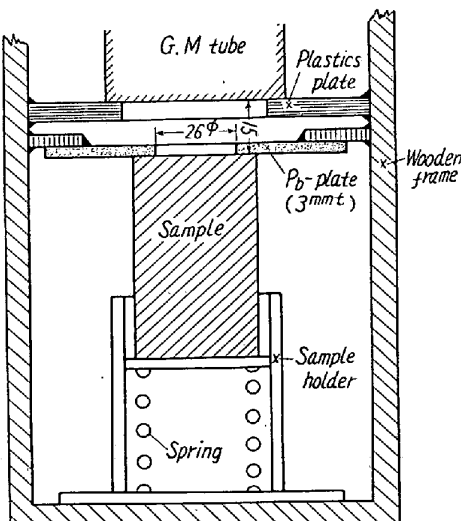


Fig. 1. Apparatus of β ray measurement.

数管の試料棚に下からスプリングで押しつけ、径 26 mm の窓を通して測定した。

オートラジオグラフィは試料の表面を仕上げフィルムを必要時間はりつけておいた。

III. 実験結果

(1) ^{32}P の鋼中への歩留

^{32}P の歩留は使用する ^{32}P の量を定めるに必要である。酸性電気炉では鋼滓にほとんど ^{32}P が検知できなかつたのでほぼ 100% ^{32}P は鋼中に入つたことが判つた。塩基性電気炉では ^{32}P の歩留は後方散乱を考えない計算値に對して 19.5% と 41.1% との計数値を示した。添加した磷酸鉄が直接浮上して鋼滓中に入るか否かを調べる目的で 1 度酸性電気炉で ^{32}P を添加した鋼塊を 70mm 径に圧延して塩基性電気炉で再熔解した。このときの P の歩留は 58.1% であつた。これは装入材料中の P は鋼屑の形状などにもよるがきわめて良質の材料でもほぼ 42% は溶落までに鋼滓に移つたことを示す。塩基性電気炉に最初から磷酸鉄を添加した場合は磷酸鉄の 1 部分は直接鋼滓に入ると思われる。

また P の炉内分布は溶落直後を除き、その 10 分後からはどの溶解例でも有意差なく均一分布であつた。

(2) 化学分析値との比較

塩基性電気炉で溶落から出鋼までの鋼および鋼滓中の

の高い部分では良く合致している。P%の低い部分では分析誤差を生じたと思われる。図中試料 5~6 の間は [P] と (P) の平衡点と推量される。 ^{32}P を炉中迅速分析に應用することは可能である。測定時間は 3~5 分でよい。しかし少くも最初 1 回化学分析を併用する必要があり、また塩基性電気炉では ^{32}P を多く必要とするなど困難な点がある。

(3) 鋼塊中の P の偏析

^{32}P を添加して溶解した鋼を 1.8 t 角鋼塊とし、これの縦断面および横断面を仕上げた後 GM 計数管とオートラジオグラフィで偏析を調べた。P は押湯直下の中央部に最も多く、それより鋼塊底部に向けて樹枝状晶の内側に逆 V 偏析がある。横断面ではこれはリング状をなしさうに内側に第 2 のリング状偏析が存在する。1 例を Photo. 1 に示す。これは鋼塊の 1/2 高さの部分の横断面である。計数値とオートラジオグラフィとの結果では外周樹枝状晶部は上部は P が少く、下部は平均より多くなつてある。なお中央下部は最も P が少い。鋼塊各部の P の偏析は計数値では最高は平均 (600 c. p. m) の 22% 増、最低は平均の 25% 減である。しかしラジオグラフィではさらに偏析ははなはだしく、GM 計数管または化

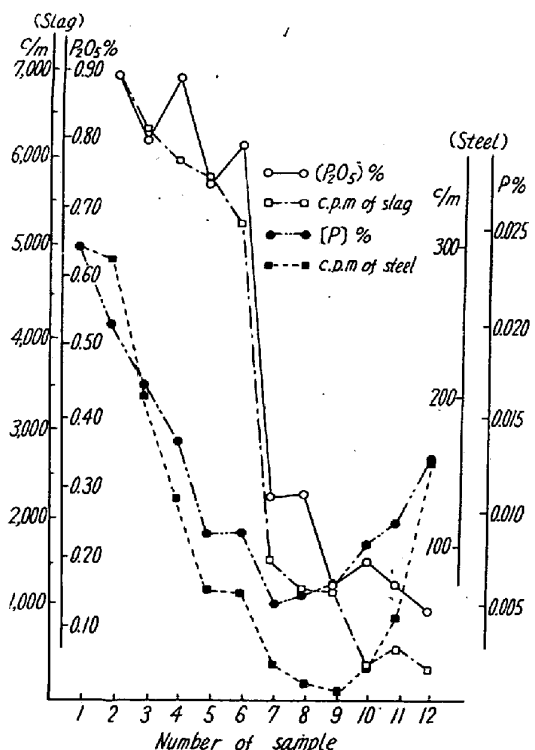


Fig. 2. Relation between chemical analysis and c. p. m by a G. M. counter.

の P 变化の 1 例を Fig. 2 に示す。GM 計数管のカウント数/分 (c. p. m) と化学分析値とは P% および P_2O_5 %

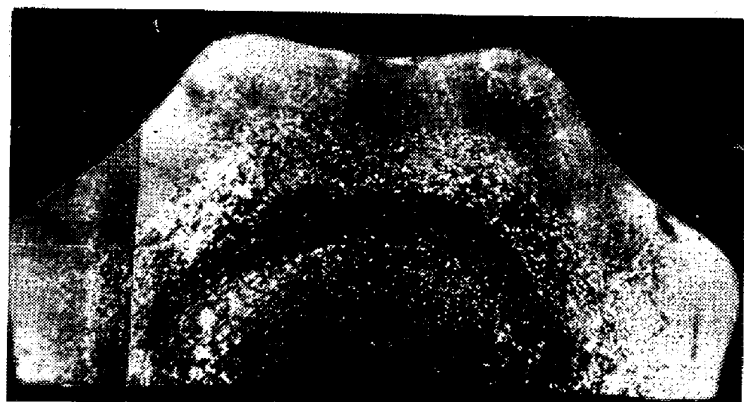


Photo. 1. Auto-radiography of a 1-ton ingot.
(H-Section of the middle height)
Film; Fuji 200#, Time of exposure; 264h

学分析のためのサンプリングでは正確な偏析は調べられないことを示している。鋼塊のまままた鍛造後の P の偏析の詳細は講演会で幻灯を用いて報告する。

IV. 総括

^{32}P の添加は鉄製容器に磷酸鉄の形で密封して鋼屑と熔解することで可能である。しかし塩基性炉ではロスが多く ^{32}P を多く必要とし、多量の ^{32}P を含む鋼滓の処置に問題が残る。

P の偏析および偏析に対する熱処理、鍛造の影響を調べるには ^{32}P の減衰を考慮して酸性炉を用いることが有

効である。

この方法で ^{32}P を炉中分析に応用することは可能であるが経済的に困難がある。

鋼塊中の P の偏析はオートラジオグラフィで各部にわたり詳細に知ることができた。同時にマクロ組織も知ることができた。これは今後鋼塊中の P の偏析を研究する上にきわめて有効な方法である。

(44) 鋼塊用鋳型の内面表皮部の剝離について

Study on the Spalling of the Skin of Ingot Moulds.

Toshio Amaki, et alii.

久保田鉄工

工 米田 健三・ 山下 章

○工 尼木 敏雄・工 福田 道生

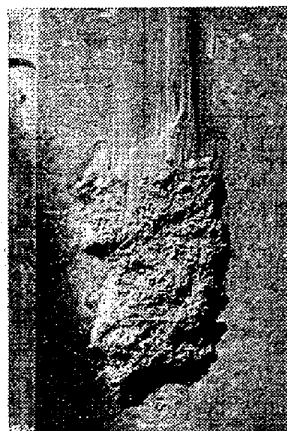
I. 緒 言

鋼塊用鋳型(以下鋳型と略す)の廃却原因は種々あるが、大別すると割れと鋳型内壁面の欠陥の二つに分けることができる。このうち割れについては近年鋳型設計の進歩と材質の改善、適切な熱処理を行うことなどによつてかなり少なくなってきた。一方内面の欠陥によるものにはクレージング、熔損、剝離などがあげられる。いずれも注入された熔鋼の熱的影響によつて鋳型内面に欠陥を生ずるものであるが、クレージング、熔損によつて廃却される鋳型は一般に長寿命であるのに反し、剝離は突発的に発生し、特に大型鋳型の早期廃却の主要原因となつてゐる。今回はこの剝離についてこれまで調査した

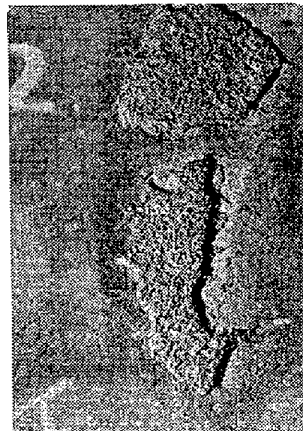
結果、および剝離実験について報告する。

II. 剥離について

Photo. 1 に典型的な剝離の例を示す。剝離は鋼塊重



Depth 5~7 mm × 1/2 (×2/5)



Depth 10~12 mm × 1/2 (×2/5)

Photo. 1 Spalling of ingot moulds.

量 500 kg 前後の小型鋳型から 30 t 以上の鍛造鋼用鋳型まで広範囲にわたつて発生する。発生時期は鋳型の使用初期からクレージングが相当進行しそれが原因となる後期におよぶが、ここで対象としてとり上げたのは初期に起る剝離である。発生位置は一般に鋳型が最高温に加熱される部分、すなわち高さは底面から 1/3 位、コルゲート付の場合はコルゲートの山の部分、扁平型では短辺部より長辺部に発生し易い。深さは 1~2 mm のごく表皮のみが剥がされたものから 20 mm 以上に深くえぐられたものまで多種多様である。鋳型は普通の低 C 鋼より特殊鋼、リムド鋼よりキルド鋼の方が発生率が高い。剝離の発生原因は大別すると、鋳型自体に材質的な欠陥があつた場合と、使用法の不適当に基因する場合の二つに分

Table 1. Properties of skin of the ingot moulds.

Type of the ingot mould	Chemical composition						Brinell Hardness		Matrix structure 5mm from skin		Note
	T.C	G.C	Si	Mn	P	S	Skin	5mm from skin	%	%	
Twin 100 kg	3.77	3.20	1.28	0.62	0.136	0.083	117	123	Ferrite 20, Pearlite 20		
Slab 460 kg	3.40	2.86	1.18	0.56	0.179	0.079	140	154	Pearlite 100		
Square 2 t	3.63	3.39	1.78	0.57	0.106	0.006	152	155	Ferrite 80, Pearlite 20	D.C.I. annealed	
Slab 3.5 t	3.91	3.38	1.27	0.72	0.152	0.056	95	102	" 80 " 20		
" *	3.88	3.41	1.23	0.64	0.149	0.050	—	76	" 60, " 40	annealed 8 times used	" "
Octagonal 3.6 t	3.84	3.31	1.35	0.60	0.133	0.054	105	109	" 30, " 70		
Slab 8.5 t	3.82	3.45	1.11	0.53	0.149	0.056	82	84	" 30, " 70	annealed 13 times used	
Octagonal 12 t	3.86	3.70	1.20	0.55	0.179	0.052	83	81	" 80, " 20	" "	
" *	3.89	3.71	1.23	0.54	0.179	0.064	—	72	" 70, " 30	annealed 40 times used	" "
Octagonal 20 t	3.87	3.75	1.48	0.65	0.190	0.035	71	77	" 80, " 20		
" *	3.90	3.80	1.48	0.67	0.189	0.055	—	70	" 90, " 10	" "	

* Spalled part